РЕКОМБИНАЦИОННЫЕ РАДИОЛИНИИ В ОРИОНЕ А НА 8 И 13 мм: ИОНИЗАЦИОННАЯ СТРУКТУРА И ЭФФЕКТИВНАЯ ТЕМПЕРАТУРА ЗВЕЗДЫ θ^1 С Ori, ЭЛЕКТРОННАЯ ТЕМПЕРАТУРА ИОНИЗОВАННОГО ГАЗА И ТУРБУЛЕНТНОСТЬ

© 2019 г. А. П. Цивилев^{1*}, В. В. Краснов², С. В. Логвиненко¹

¹Физический институт им. П. Н. Лебедева, Пущинская радиоастрономическая обсерватория АКЦ, Москва, Россия ²Физический институт им. П. Н. Лебедева, Астрокосмический центр, Москва, Россия Поступила в редакцию 19.02.2018 г.; после доработки 10.07.2018 г.; принята к публикации 04.09.2018 г.

На радиотелескопе РТ22 (Пущино) на волнах 8 и 13 мм были проведены наблюдения рекомбинационных радиолиний (РРЛ) водорода, гелия (H, He) и углерода (C) в нескольких позициях HII области Орион А. Получены сведения об ионизационной структуре HII области. Поведение величины $y^+ = n(\mathrm{He}^+)/n(\mathrm{H}^+)$ по туманности и модельные расчеты указывают, что эффективная температура (T_{eff}) звезды θ^1 С Огі находится в интервале $35\,000-37\,500$ К, соответствуя спектральному классу \approx Об.5V, что важно для калибровки горячих О-В звезд. Измерены электронные температуры (T_{e}) этой HII области с учетом отклонения от локального термодинамического равновесия (LTE), получено их распределение по туманности до расстояний в 300 угл. сек от центра. Полученные температуры находятся в интервале 6600-8400 K, строго уменьшаясь в направлении на "восток" с расстоянием от центра, имеют также тенденцию снижения к периферии в направлениях на "юг" и "запад". Получены данные о турбулентных скоростях (V_t) ионизованного газа и их распределение по туманности. Полученные по РРЛ Н величины V_t находятся в интервале $9-13\,\mathrm{km/c}$.

Ключевые слова: межзвездная среда, области HII, радиорекомбинационные линии.

DOI: 10.1134/S0320010819010078

ВВЕДЕНИЕ

Радиорекомбинационные линии (РРЛ) являются одним из мощных инструментов исследования межзвездной среды (Сороченко, Гордон, 2003). Они позволяют получать физические параметры НІІ областей и областей фотодиссоциации. Одна из важных задач — проверка стандартной космологической модели в части Первичного нуклеосинтеза Вселенной, который имел место в первые 2— 3 мин после Большого Взрыва (см., например, Кок, Ваньони, 2017). Во время Первичного нуклеосинтеза в основном образовались ядра легчайших элементов, больше всего — гелия-4 (далее Не). Одним из наиболее надежных способов измерения первичного содержания гелия являются измерения по наблюдениям рекомбинационных линий Н (водорода) и Не (гелия) от НІІ областей как в оптике (Изотов и др., 2014; Авер и др., 2015), так и в радиодиапазоне (Цивилев, 2009; Цивилев и др., 2013). Однако наш опыт показывает, что при этом желательно проводить исследования НІІ областей: оценивать их физические параметры и исследовать ионизационную структуру, которая в большей степени определяется эффективной температурой ионизующей звезды или группы звезд, и знание которой необходимо для аккуратной оценки содержания гелия.

Одной из таких НІІ областей является известная туманность Орион А. Мы давно исследуем эту область (Цивилев и др., 1986; Поппи и др., 2007; Поляков, Цивилев, 2007; Цивилев и др., 2014, 2016) по наблюдениям РРЛ. В этих работах была построена модель НІІ области, получено распределение относительного содержания гелия, $y^+ = n(\mathrm{He}^+)/n(\mathrm{H}^+)$, по туманности, проведена оценка эффективной температурой звезды.

В настоящей работе мы решили провести новые наблюдения РРЛ на 8 мм и 13 мм в Орионе А на радиотелескопе РТ22 (Пущино), используя усовершенствованную аппаратуру, и уточнить физические параметры НІІ области. На первом этапе

^{*}Электронный адрес: tsivilev@prao.ru

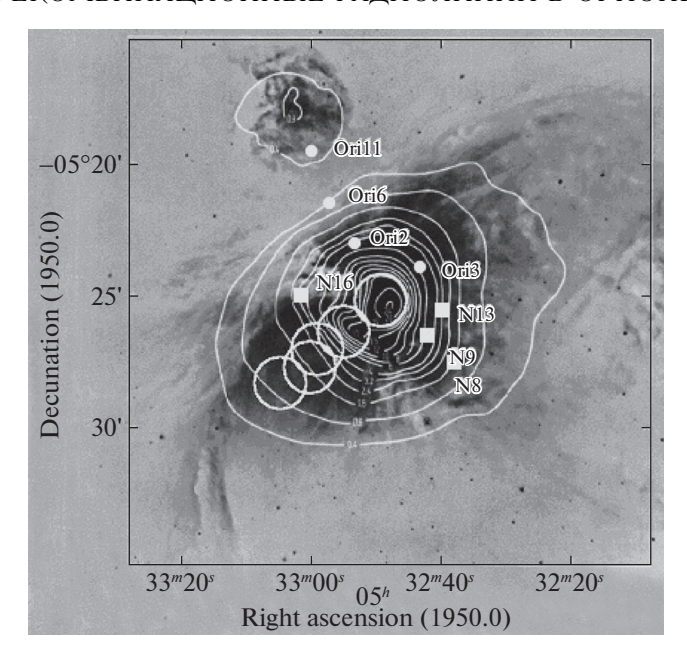


Рис. 1. Показаны позиции, в которых проводились наблюдения РРЛ на длине волны 8 мм (большие и малые окружности) и 13 мм (квадратики). На фоне карты туманности Орион А в оптике ($H\alpha$ and NII, Xya, Луис, 1982), контурные линии — карта в континууме на 23 GHz (Вильсон, Паулс, 1984).

были получены физические параметры зоны фотодиссоциации — Орион Бар (Цивилев, 2014) как промежуточной области между горячим ионизованном газом и холодным молекулярным облаком.

В данной работе, в частности, мы решили повторить оценку эффективной температуры звезды $(T_{\rm eff})$, ионизующей туманность, что определяет ионизационную структуру туманности. Туманность Ориона и ее звездный состав являются одним из наиболее изученных объектов, однако по вопросу $T_{
m eff}$ звезды $heta^1$ С Огі имеются разногласия с интервалом от 37 000 K до 45 000 K (см., например, Поляков, Цивилев, 2007). С решением этого вопроса связана и проблема выбора калибровки (зависимости $T_{
m eff}$ от спектрального класса) горячих O-B звезд. Предполагается сделать оценку $T_{
m eff}$ на основе поведения $y^+(r)$, полученного с большей точностью и надежностью и на больших угловых расстояниях (для 8 мм) от центра, чем ранее. А модельные расчеты будут проведены на основе более широкого диапазона моделей атмосфер звезд (Цивилев и др., 2013).

Также будут получены оценки электронной температуры $(T_{\rm e})$ и турбулентных скоростей ионизованного газа, их распределение по туманности, что важно для моделирования и дальнейшего исследования туманности. В нашей работе Поппи и др. (2007) было замечено, что полученные $T_{\rm e}$ имеют тенденцию к спаду в направлении на юг. В данной работе мы решили более подробно рассмотреть

этот вопрос. Хотя измерения электронной температуры в Орионе делались не раз, поведение $T_{\rm e}$ (рост или спад) с расстоянием от центра остается дискуссионным (см., например, обсуждение в статье Вилсон и др., 2015). Поэтому получение новых добавочных экспериментальных данных будет важным вкладом по этому вопросу. Частично результаты были представлены в работе Цивилева (2014).

Статья состоит из следующих трех разделов: наблюдения, результаты и обсуждение, заключение

НАБЛЮДЕНИЯ

Наблюдения РРЛ проводились на радиотелескопе РТ22 (Пущино). На рис. 1 показаны позиции по туманности Орион А, в которых проводились новые наблюдения РРЛ Н, Не и С (водорода, гелия и углерода) на длинах волн 8 и 13 мм. Часть наблюдений на 8 мм была опубликована (Цивилев, 2014), это большие окружности на рис. 1 с размером, равным диаграмме направленности (\approx 2') РТ22 на 8 мм. Диаграмма направленности РТ22 на13 мм — 2.6'. Шумовая температура системы была 130—200 K на 13 мм и 220—300 K на 8 мм.

Наблюдения проводились методом ON—ON на основе диаграммной модуляции (Сороченко и др., 1985) сканами по \approx 7—10 мин. Расстояние между диаграммами составляло 23 угл. мин на 8 мм и 9 угл. мин на 13 мм.

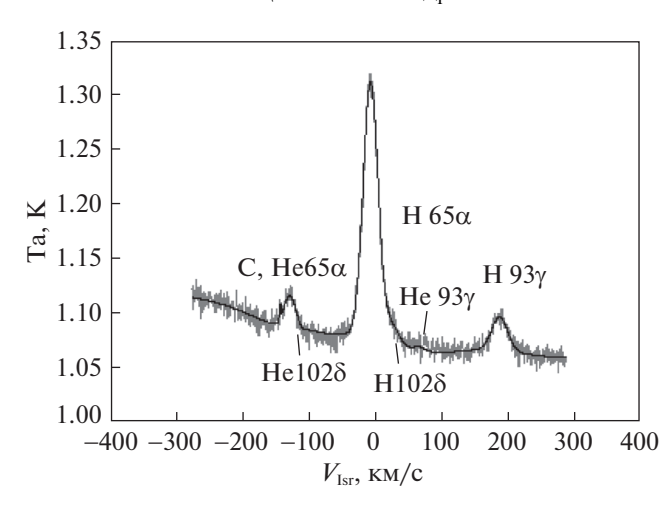


Рис. 2. Вид полученного спектра в позиции Ori N13 на 13 мм. По вертикальной оси — антенные температуры, по горизонтальной — лучевые скорости. Нуль соответствует нулевой скорости для РРЛ Н. Серая ломаная линия — полученный спектр, черная плавная линия — вписанный спектр.

Данные каждого скана калибровались к антенной температуре и корректировались за поглощение атмосферой. Затем определялись средние спектры по дням, и далее — средние между днями и сессиями, реализуя накопления сигнала в десятки часов (Цивилев, 1998). Параметры спектральных линий результирующего спектра определялись среднеквадратичной аппроксимацией спектров (фиттинг) методом максимальной окрестности (Смирнов, Цивилев, 1982). В основном использовался автокорреляционный анализатор спектра с числом каналов 2048 и частотной шириной — 50 МГц.

Часть данных на 8 мм (помечено звездочкой ниже в табл. 2) была получена на новом 2-х канальном приемнике (РРЛ смежных переходов, 56α и 57α наблюдались одновременно) и цифровом 2-х канальном анализаторе спектра с теми же характеристиками.

Одной из проблем было искажение нулевой линии спектрометра, которое возникает из-за интерференции шумов и принимаемого сигнала преимущественно при их отражении между основным зеркалом и контррефлектором радиотелескопа; искажения имеют квазисинусоидальную форму (Бахрах и др., 1976) с периодом, зависящим от расстояния между отражающими поверхностями (для РТ-22 \approx 15 МГц). Согласно нашему опыту, метод борьбы с данными искажениями (паразитный сигнал) это проведение наблюдений несколькими сессиями (длительностью $\sim \! 10$ сут) в разные сезоны года. Вследствие движения Земли по орбите вокруг Солнца положение спектральной линии смещается относительно паразитного сигнала. Поскольку частота наблюдений устанавливалась так, чтобы

спектральная линия была в одном и том же канале, то происходил сдвиг паразитного сигнала относительно линии. При усреднении спектров разных дат паразитный сигнал усреднялся с разными фазами, что приводило к уменьшению его размаха. Остаточный паразитный сигнал компенсировался при фиттинге полученных спектров введением синусоидальных членов в аппроксимирующую функцию для описания нулевой линии спектрограмм (Цивилев, 1998). Форма самих РРЛ описывалась гауссовым профилем (Сороченко, Гордон, 2003).

Вид полученных спектров на 8 мм можно посмотреть в работе Цивилева (2014), пример полученного нами спектра на 13 мм показан на рис. 2.

В табл. 1 приведены координаты точек наблюдений, название РРЛ, время накопления сигнала, параметры РРЛ: контраст линия/континуум, амплитуда линии в яркостных температурах (средних подиаграмме), ширина линии на уровне половинной интенсивности в км/с и ее лучевая скорость в км/с. В скобках указаны ошибки (одно среднеквадратичное отклонение). Параметры линий в позициях Огі Ваг, Огі Ваг-2, Огі Ваг-3, Огі Ваг-4 (помечены на рис. 1 окружностями соответственно с расстоянием от центра, звезда θ^1 С Огі, центральная позиция помечена как Огі А) представлены в работе Цивилева (2014).

В табл. 2 приведены физические параметры, полученные на основе анализа данных РРЛ.

Таблица 1. Полученные параметры РРЛ на РТ22

| Источник | $rac{lpha_{1950}}{\delta_{1950}}$ | Линия | t, нак. ч | $T_l(H)/T_c$, % | T_L , ярк., Қ | ΔV , км/с | $V_{ m lsr}$, км/с | |
|----------|------------------------------------|--------------------|------------------|------------------|-----------------|-------------------|---------------------|--|
| | | | | | 8 мм | | | |
| Ori 2 | $5^{\rm h}32^{\rm m}53.5^{\rm s}$ | $H56\alpha$ | * | 33.9% | 0.6635 (0.002) | 28.6(0.12) | 1.20 (0.30) | |
| | $-5^{\circ}23'07''$ | He 56α | 65.5 | | 0.063 (0.0025) | 27.20(1.3) | -6.6(1.1) | |
| | | $C56\alpha$ | | | 0.041 (0.007) | 2.6(0.60) | 9.20 (0.30) | |
| | | | | | Вариант 1 | | | |
| Ori 3 | $5^{\rm h}32^{\rm m}43.5^{\rm s}$ | $H56\alpha$ | * | 34.1% | 0.711 (0.002) | 28.1 (0.10) | -4.0(0.30) | |
| | $-5^{\circ}23'58''$ | He 56α | 79.0 | | 0.075 (0.003) | 28.6(1.2) | -8.8(1.0) | |
| | | $C56\alpha$ | | | 0.014 (0.006) | 2.6(1.3) | 8.60 (0.50) | |
| | | | | | Вариант 2 | | | |
| | | $H56\alpha$ | | | 0.710 (0.002) | 28.0 (0.09) | -4.0(0.30) | |
| | | He 56α | | | 0.077 (0.002) | 21.4(1.0) | -6.6(0.7) | |
| | | $1C56\alpha$ | | | 0.038 (0.006) | 2.5(0.5) | 8.30 (0.30) | |
| | | $2C56\alpha$ | | | 0.052 (0.007) | 2.4(0.4) | 1.1 (0.30) | |
| Ori 6 | $5^{\rm h}32^{\rm m}56.7^{\rm s}$ | $H56\alpha$ | 93.7 | 34.9% | 0.257 (0.003) | $26.1\ (0.28)$ | -5.14(0.50) | |
| | $-5^{\circ}21'30''$ | ${\rm He}56\alpha$ | | | 0.022 (0.003) | 12.35(1.8) | -2.7(0.7) | |
| | | $C56\alpha$ | | | 0.058 (0.004) | 4.48(0.4) | 7.80 (0.2) | |
| Ori 11 | $5^{\rm h}33^{\rm m}~00.^{\rm s}$ | $H56\alpha$ | 57.6 | 40.4% | 0.164 (0.004) | $24.3\ (0.57)$ | 0.70(0.50) | |
| | $-5^{\circ}19'37''$ | ${\rm He}56\alpha$ | | | 0.030 (0.004) | 17.1(2.6) | -5.7(0.9) | |
| | | $C56\alpha$ | | | 0.051 (0.007) | 3.23(0.5) | 7.40 (0.2) | |
| | | | | | 13 мм | | | |
| Ori N13 | $5^{\rm h}32^{\rm m}40.0^{\rm s}$ | $H65\alpha$ | 39.6 | 22.1% | 0.700 (0.003) | $26.4\ (0.18)$ | -4.10(0.31) | |
| | $-5^{\circ}25'37''$ | ${ m He}65\alpha$ | | | 0.091 (0.003) | 19.9(1.0) | -3.4(0.5) | |
| | | $C65\alpha$ | | | 0.038 (0.008) | 2.85(0.7) | 9.1 (0.6) | |
| | | H93 γ | | | 0.092 (0.003) | 29.2(1.1) | -4.1(0.5) | |
| Ori N9 | $5^{\rm h}32^{\rm m}42.0^{\rm s}$ | $H65\alpha$ | 26.5 | 22.2% | 0.921 (0.006) | 27.7(0.33) | -4.5(0.6) | |
| | $-5^{\circ}26'36''$ | ${ m He}65\alpha$ | | | 0.109 (0.006) | $19.6\ (1.6)$ | -4.9(0.6) | |
| | | $C65\alpha$ | | | 0.074 (0.013) | 3.90(0.8) | 8.3(0.5) | |
| | | $H93\gamma$ | | | 0.130 (0.006) | 36.9(1.9) | -5.2(0.65) | |
| Ori N8 | $5^{\rm h}32^{\rm m}39^{\rm s}$ | $H65\alpha$ | 54.0 | 19.4% | 0.300 (0.002) | 29.2(0.4) | -5.3(0.3) | |
| | $-5^{\circ}27'00''$ | ${ m He}65\alpha$ | | | 0.034 (0.002) | 22.8(2.1) | -5.5(0.8) | |
| | | $H93\gamma$ | | | 0.040 (0.002) | $36.0\ (1.6)$ | -5.0(0.7) | |
| Ori N16 | $5^{\rm h}33^{\rm m}0.3^{\rm s}$ | $H65\alpha$ | 15.9 | 23.08% | 0.853 (0.007) | 27.0(0.4) | -1.9(0.3) | |
| | $-5^{\circ}25'06''$ | ${ m He}65\alpha$ | | | 0.088 (0.008) | 15.9(2.0) | -1.5(0.8) | |
| | | $C65\alpha$ | | | 0.070 (0.012) | 6.60(0.58) | 9.9(0.7) | |
| | | $H93\gamma$ | | | 0.121 (0.007) | 42.6(2.61) | 2.90 (0.99) | |
| Ori A | $5^{\rm h}32^{\rm m}49^{\rm s}$ | $H65\alpha$ | 10.0 | 24.6% | 2.63 (0.014) | 25.7(0.24) | -2.0(0.3) | |
| | $-5^{\circ}25'16''$ | ${ m He}65\alpha$ | | | 0.296 (0.014) | 18.3(1.1) | -2.2(0.5) | |
| | | $H93\gamma$ | 2 56 or 11 57 or | | 0.386 (0.015) | 31.5(1.4) | -2.0(0.6) | |

^{*} Суммарное время по двум РРЛ перехода 56α и 57α .

ПИСЬМА В АСТРОНОМИЧЕСКИЙ ЖУРНАЛ том 45 $\,$ № 1 $\,$ 2019

Таблица 2. Некоторые результаты

| Источник | $n({\rm He^+})/n({\rm H^+}), \%$ | $T_{ m e}({ m LTE})$ | $T_{ m e}({ m bn})$ | V _t (Н), км/с | $V_{ m t}$ (He), км/с |
|-----------|----------------------------------|----------------------|---------------------|--------------------------|-----------------------|
| | 8 мм | | | | |
| Ori A | 8.3 (±.36) | 8700 (52) | 8170 (104) | 11.6 (0.2) | 9.4 (1.4) |
| Ori Bar | $8.2 (\pm .55)$ | 9900 (100) | 8380 (200) | 10.9 (0.3) | 11.3 (1.5) |
| Ori Bar-2 | 7.3 (±.7) | 8900 (135) | 7330 (270) | 11.7 (0.4) | 7.6(1.3) |
| Ori Bar-3 | $5.7 (\pm .66)$ | 8500 (125) | 7000 (250) | 12.0 (0.4) | |
| Ori Bar-4 | 4.8 (±.8) | 8100 (80) | 6600 (160) | 12.7 (0.3) | 8.5 (2.6) |
| Ori2 | 9.1 (±.55) | 8670 (66) | 7340 (130) | 13.2 (.25) | 14.5 (1.7) |
| Ori 3 | $9.5 (\pm .51; 1.2 \text{ sys})$ | 9000 (57) | 7420 (110) | 12.6 (0.2) | 15.5 (1.1) |
| Ori 6 | 4.0 (±0.8) | 8840 (250) | 7480 (500) | 11.0 (0.4) | 6.4 (2.0) |
| Ori 11 | | 8920 (360) | | | |
| | 13 мм | | | | |
| Ori N13 | 9.8 (±.60) | 9240 (100) | 8220 (200) | 9.1 (0.4) | 10.4(1.1) |
| Ori N9 | 8.4 (±.83) | 8940 (150) | 7600 (300) | 12.4 (0.6) | 10.4 (1.8) |
| Ori N8 | 8.8 (±.97) | 9540 (360) | | | |
| Ori N16 | 6.1 (±.95) | 9000 (180) | 8200 (360) | 11.3 (0.7) | 7.6 (4.2) |
| Ori A | 8.0 (±.6) | 8760 (110) | 8370 (220) | 10.0 (0.8) | 9.3 (2.2) |

РЕЗУЛЬТАТЫ И ОБСУЖДЕНИЕ

Ионизационная структура и эффективная $_{rem}$ температура звезды $heta^1 C$ Ori

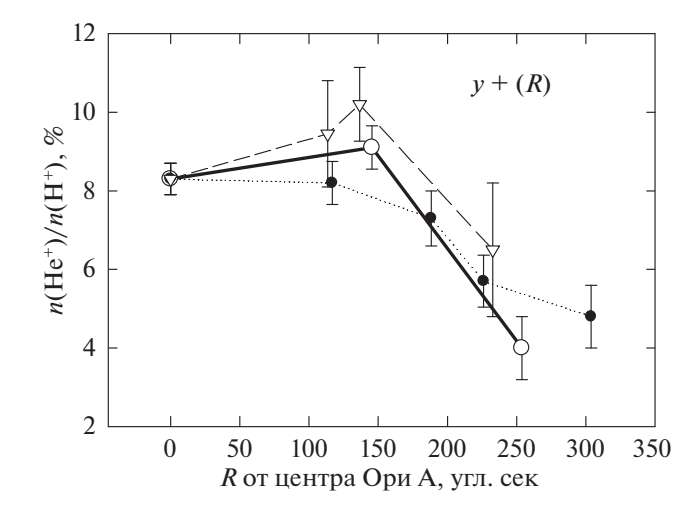
На рис. 3 приведено полученное распределение относительного содержания гелия, $y^+ =$ $= n(He^{+})/n(H^{+})$ по туманности. Из рисунка видно, что в направлениях на север и запад имеется увеличение измеренного содержания гелия с расстоянием от центра $y^+(r)$ с максимумом на угловых расстояниях 100-150'', а затем спад. В направлении на восток измеренное значение $y^+(r)$ всегда падает с удалением от звезды. Значение y^+ в позиции N16 указывает спад и на северо-восток. Такое поведение подтверждает предположения, что область HII Орион A имеет структуру типа "блистер" с распределением плотности ядро гало, что зона ионизации гелия меньше зоны ионизации водорода с разным соотношением для ядра и гало (Цивилев и др., 1986; Поппи и др., 2007): меньше для ядра (зона строго ограничена

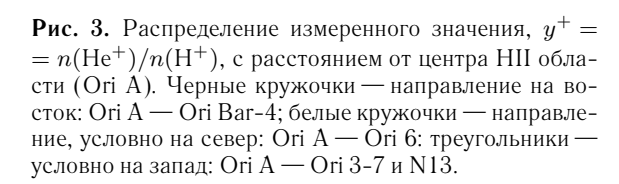
по ионизации) и больше для гало, где зона HII ограничена частично по ионизации, а частично по плотности, соотношение которых может меняться от места к месту и по разным направлениям. В областях HII измеренное $(y^+ = n(\mathrm{He}^+)/n(\mathrm{H}^+))$ и действительное $(y = n(\mathrm{He})/n(\mathrm{H}))$ содержание гелия связаны структурным фактором R:

$$y^+ = R * y, \tag{1}$$

где R определяется ионизационной структурой, т.е. соотношением размеров и мер эмиссий зон He^+ и H^+ (см., например, Цивилев и др., 2013).

То, что на восток имеется постоянный спад, означает, что в данном направлении зона НІІ строго ограничена по ионизации, R для ядра и гало будет одинаково и будет меньше единицы. Этот факт можно использовать для оценки источника ионизация НІІ области (звезда или группа звезд) (Цивилев, 1993; Цивилев и др., 2013). В этом случае фактор R будет сильно зависеть от свойств звезды, в основном от ее эффективной температуры





Тэф (Цивилев и др., 2013). В Орионе А это звезда θ^1 С Огі. Мы провели модельные расчеты поведения $y^+(r)$ "на восток". Более подробное описание расчетов можно найти в работах Цивилев и др. (2013), Ершов и др. (1998), частично — в работе Полякова, Цивилева (2007).

Степень ионизации элементов H и He определялась из системы уравнений ионизационного баланса. При этом строго учитывалось влияние метастабильного уровня гелия и пыли. В результате расчетов получались распределения степеней ионизации He и H с расстоянием от центра зоны HII. Затем считались интегральные интенсивности рекомбинационных радиолиний I(H) и I(He) с расстоянием от центра и с учетом диаграммы направленности, и далее их отношение сравнивалось с полученной зависимостью $y^+(r)$ (рис. 4). Для включения ионизующего ультрафиолетового излучения использовались несколько наиболее принятых моделей атмосфер звезд (Цивилев и др., 2013).

Проведенные модельные расчеты указывают, что $T_{\rm eff}$ источника ионизации находится в интервале $35\,000-36\,500$ К. Если учесть, что ионизация данной области НІІ производится не одной звездой, а группой (Копети, Бика, 1983), то реальная $T_{\rm eff}$ звезды θ^1 С Огі будет более горячей (\sim на 1000 K, Копети, Бика, 1983), т.е. будет находиться в расширенном интервале $35\,000-37\,500$ К. Это согласуется с более ранними нашими оценками (Поляков, Цивилев, 2007) с $T_{\rm eff}\sim 37\,000$ К. В дальнейшем мы планируем более детально картировать восточное и северо-восточное направления

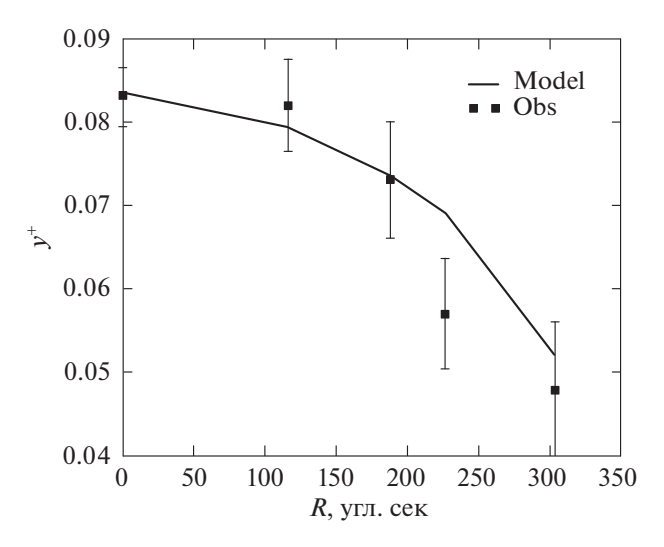


Рис. 4. Пример модельных расчетов для описания поведения $y^+(r)$ в направлении на восток, Огі А — Огі Ваг-4. По вертикальной оси — значения y^+ , по горизонтальной — расстояние от центра HII области.

в РРЛ Н и Не, чтобы более детально определить поведение $y^+(r)$ и уточнить интервал $T_{\rm eff}$.

Как уже говорилось выше, по вопросу $T_{\rm eff}$ звезды θ^1 C Ori имеются разногласия с интервалом от 37000 К до 45000 К (см., например, Поляков, Цивилев, 2007). Наши данные указывают на нижнюю часть интервала. Более того, возникает возможность внести некоторые ограничения в вопросе калибровки горячих О-В звезд. По исследованиям в оптическом диапазоне было надежно показано (Стахл и др., 2008), что спектральный класс звезды θ^1 C Ori \sim O7V. Однако, по нашему мнению, их данные, скорее, указывают на интервал величин O6-O7V, т.е. на спектральный класс звезды ≈O6.5V (см. рис. 6 из работы Стахл и др., 2008). Известно, что одной из проблем является калибровка О-В звезд: соответствие спектрального класса звезды и ее $T_{
m eff}$. Например, Вакка и др. (1996) полагают, что звезде спектрального класса m O6.0V соответствует $T_{
m eff} pprox 43\,600$ K, в то время как Потташ и др. (1979) считают, что $T_{\rm eff} \approx 36\,500$ K. На рис. 5 представлены наиболее принятые калибровки О-В звезд и область значений, которую выделяют наши данные. Последние свидетельствуют (рис. 5) в пользу калибровки звезд Потташа и др. (1979) и Массея и др. (2005). Это является интересным результатом, указывая на некоторые экспериментальные ограничения в вопросе выбора калибровки горячих О-В звезд. С другой стороны, мы понимаем, что это лишь один из способов оценки $T_{\rm eff}$, и, конечно, дальнейшие работы в этом направлении должны приветствоваться.

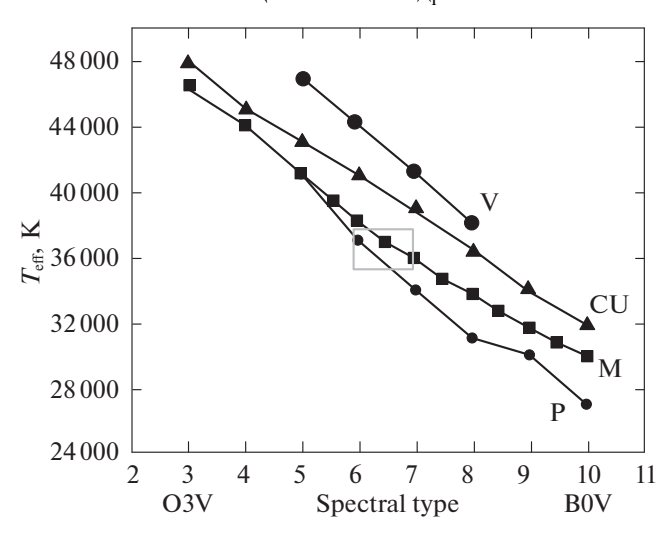


Рис. 5. Калибровка О-В звезд ($T_{\rm eff}$ в Кельвинах от спектрального класса): Р- Потташ и др. (1979); М- Массей и др. (2005); СU- Конти, Андерхил (1988); V-Вакка и др. (1996). Прямоугольник в центре- наши оценки.

В недавней статье О'Делл и др. (2017) было указано, что на юго-восточной окраине туманности значительную роль в ионизации среды может играть звезда θ^2 Ori A.

Эта звезда, являясь звездой спектрального класса O9.5 V, имеет видимую звездную величину M = 5.064 (Варрен, Хессер, 1977). А более яркая звезда, θ^1 С Огі, имеет M = 5.132 (Варрен, Хессер, 1977). Если бы они находились на одном расстоянии от нас, то θ^1 С Огі должна была быть ярче и иметь звездную величину на 0.7-1.2 зв. величин меньше (Конти, Андерхилл, 1988, табл. 1–19), чем M = 5.064. Разницу в 0.76– 1.26 зв. величин, очевидно, дает поглощение гало HII области Орион А. Следовательно, звезда θ^2 Огі А находится к нам ближе: или за границами области HII, или практически на границе. Размер (радиус) гало можно ожидать до $\sim 12'$ (Рубин и др., 2011), т.е. до ~ 1.4 пк. Можно оценить разницу расположения звезд и другим способом, по поглощению излучения звезды θ^1 С Ori. Если взять модель HII области (Цивилев и др., 1986) и стандартное поглощение в межзвездной среде (Пикельнер, 1976, с. 356), то поглощение, например, в 1.1 зв. величин может обеспечить \approx 2.0 пк внешней части HII области. Обе оценки согласуются в том, что по лучу зрения звезда $heta^2$ Ori ${
m A}$ находится к нам ближе на $\sim 1-2$ пк, чем θ^1 С Огі. А позиция Огі Ваг находится в 2' (≈ 0.23 пк) от центра области HII (звезда θ^1 C Ori). Поэтому, находясь дальше от используемых позиций Ori Bar-Ori Bar-4 и имея в 10-20 раз меньший ионизующий поток (Симон-Диаз, Стасинска, 2008, табл. 2), чем звезда θ^1 C Ori, звезда θ^2 Ori A не могла ощутимо повлиять на ионизацию исследуемых позиций.

Можно отметить еще одну важную вещь. В местах, где наблюдается пик значений y^+ , фактор R, вероятно, близок к единице (см. рис. 9 из работы Поппи и др., 2007). Для установленной ионизационной структуры это означает, что действительное содержание гелия в Орионе А, $n(\mathrm{He})/n(\mathrm{H})$, будет не меньше, чем максимальное значение y^+ . Отсюда можно сделать вывод и об ограничении на первичное содержание гелия (Y_p , отношение He/H по массе) снизу. Предварительная оценка (Цивилев и др., 2016) следующая:

$$Y_{\rm p} \geqslant 25.19 \ (\pm 1.15)\%.$$
 (2)

В пределах ошибок это не противоречит результатам статей, указанных во Введении. Работа по уточнению этого результата продолжается.

Электронная температура ионизованного газа

Измерение электронной температуры $(T_{
m e})$ в Орионе делалось не раз, но поведение $T_{
m e}$ с расстоянием от центра остается под вопросом. В одних работах наблюдатели видят спад к периферии туманности (Вильсон, Джагер, 1987; Гопал-Кришна и др., 1988), в других — нет (Вильсон и др., 1997). Модельные расчеты указывают, что $T_{\rm e}$ ожидается почти постоянной по туманности (см., например, Рубин, 1984). В более новых работах (Поппи и др., 2007; Вильсон и др., 2015) все больше аргументов, что имеется спад $T_{\rm e}$ к периферии. Например, Вильсон и др. (2015) по РРЛ Н 106α нашли, что среднее значение $T_{
m e}$ на расстоянии в 4' от центра по направлениям восток, запад и юг равно $7200~(\pm 100)~{\rm K}$, что ниже по сравнению с центральным значением $8300 (\pm 200)$ K.

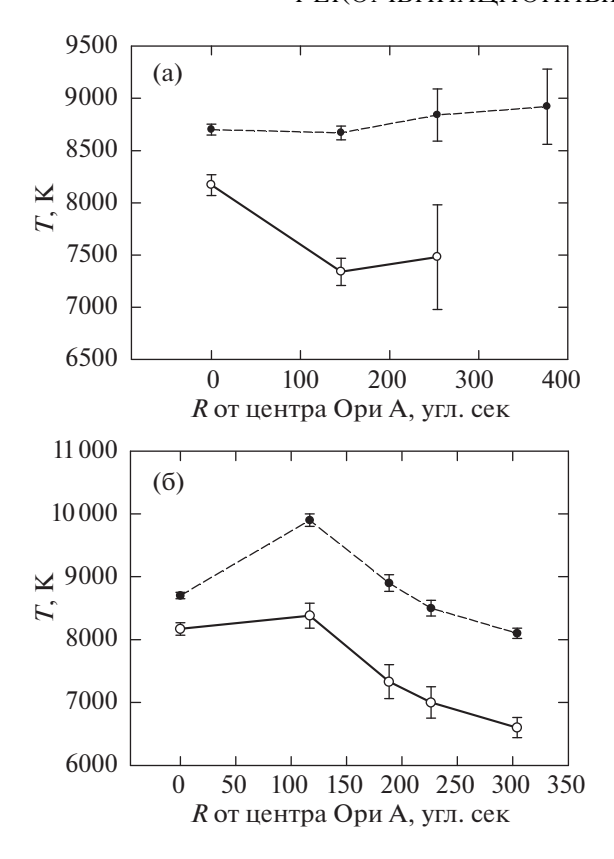


Рис. 6. Электронная температура с расстоянием от центра Ори А: (a) — направление на север, (б) — направление на восток. Светлые знаки — с учетом отклонения от LTE, темные — без учета.

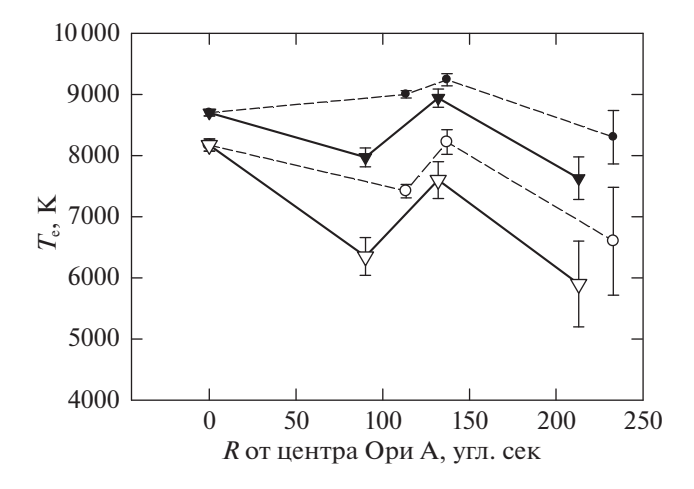


Рис. 7. Электронная температура в направлении на запад (кружочки) и юг (треугольники). Заполненные знаки — измеренные $T_{\rm e}$ для случая LTE, светлые знаки — с учетом отклонения от LTE.

РРЛ позволяют по контрасту линия/континуум определить электронную температуру (Те) ионизованного газа (Сороченко, Гордон, 2003). Это было

нами сделано (по РРЛ Н) как для случая LTE (локальное термодинамическое равновесие), так и с учетом отклонения от LTE, результат представлен на рис. 6, 7 и табл. 2. На первом шаге мы определяли $T_{\rm e}({\rm LTE})$ по упрощенной формуле (Цивилев и др., 2002), затем итерациями определяли ее по более точной формуле (Сороченко, Гордон, 2003), учитывая вклад электронов от ионизации гелия в излучение континуума по измеренным здесь значениям y^+ .

На высоких радиочастотах (где оптическая толщина значительно меньше единицы, наш случай) учет отклонения от LTE достаточно сделать по следующей формуле (Сороченко, Гордон, 2003):

$$T_{\rm e} \approx T_{\rm e}({\rm LTE}) \times b_n^{0.87}$$
. (3)

Для этого были использованы расчеты коэффициентов отклонения населенности возбужденных уровней водорода (b_n) от LTE (Салем, Броклехест, 1979) и измерения электронной плотности в оптике (Меза-Делгадо и др., 2008). Поскольку коэффициенты b_n определялись интерполяцией по расчетным таблицам, и это вносило некую дополнительную ошибку, то для скорректированных $T_{\rm e}$ мы увеличили ошибку в 2 раза.

В направлении на центр (позиция Ori A) наши данные согласуются с прежними и наиболее точными измерениями $T_{\rm e}$ по РРЛ, $T_{\rm e}=8000\,(\pm100)\,{\rm K}$ (Сороченко и др., 1988). В пределах ошибок согласуются и с приведенным выше значением из статьи Вильсона и др. (2015).

Из рис. 6 видно, что на восток имеется строгое снижение $T_{\rm e}$ с расстоянием от центра как по LTE температурам, так и по реальным. Однако в районе Огі Ваг (\approx 2′ от центра) намечается локальный пик. Значение $T_{\rm e}$ в позиции N16, находясь на севере области Огі Ваг (направление северо-восток от центра), также поддерживает наличие локального пика. Интересно, что в оптике тоже виден локальный пик в районе Огі Ваг (Меза-Делгадо и др., 2008). По всей видимости, это реальное повышение температуры в данном месте, связанное, вероятно, с наличием резкой границы ядра области НІІ и молекулярного облака.

В направлении на север (рис. 6а) по реальным $T_{\rm e}$ имеется спад, а по LTE температурам спада не видно, т.е. спад в этом направлении — под вопросом

Привлекая данные наблюдений РРЛ работы Поппи и др. (2007) и полученные здесь на 8 и 13 мм, можно сказать, что на запад и юг (рис. 7) тоже имеется тенденция к спаду с большим наклоном для юга. Для более уверенного вывода желательно промерить $T_{\rm e}$ на большие расстояния в этих направлениях, что и планируется в дальнейших работах. Еще можно заметить тенденцию,

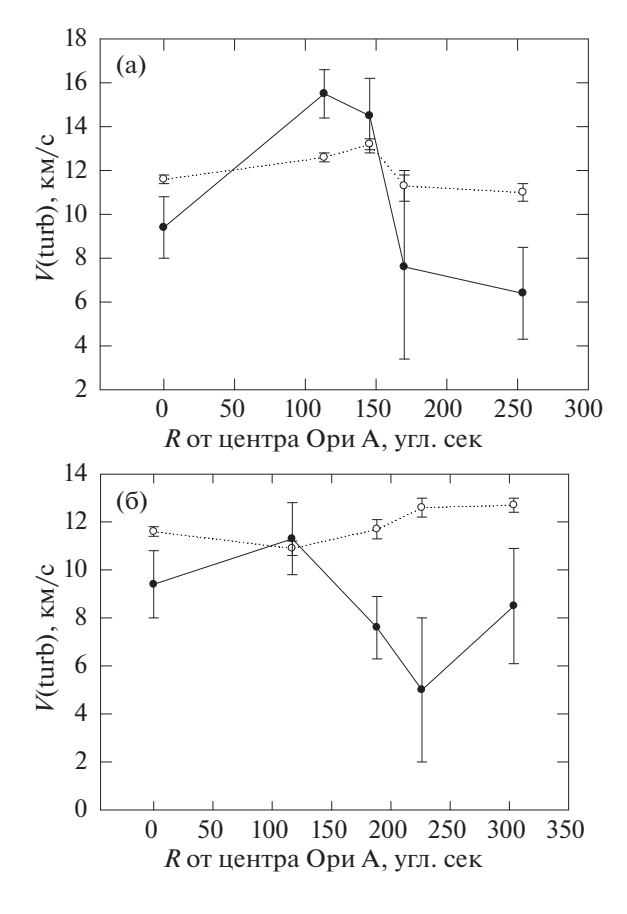


Рис. 8. Турбулентные скорости, определенные по РРЛ H (светлые знаки) и по He (темные знаки): (а) — с расстоянием от центра Ori A с общим направлением на север (Ori A — Ori6, включая Ori3 и N16), (б) — с расстоянием от центра Ori A по направлению на восток (Ori A — Ori Bar-4).

что измеренные $T_{\rm e}$, до расстояний 100-150'' имеют медленный спад, а далее спад ускоряется.

В оптике также было получено снижение $T_{\rm e}$ (причем достаточно достоверное) с расстоянием от центра (Меза-Делгадо и др., 2008), правда, на меньшем протяжении — до 120'' от центра. Наши данные указывают, что снижение продолжается дальше, до расстояний $\sim\!300''$ от центра. Как одно из возможных объяснений, такое снижение $T_{\rm e}$ к периферии может быть связано или с уменьшением плотности (Вильсон, Джагер, 1987), или с увеличением количества тяжелых элементов к периферии, особенно кислорода и серы, которые являются хладагентами (Спитцер мл., 1981).

Авторы работы Меза-Делгадо и др. (2008) привели формулу линейного спада $T_{\rm e}$ с расстоянием, что позволяет произвести сравнение полученных величин $T_{\rm e}$ на всех наших расстояниях. Оказалось, что $T_{\rm e}$, измеренные по РРЛ, имеют меньшие значения, чем оптические данные, полученные по линии

[OIII](Меза-Делгадо и др., 2008) на 150—800 К. По линиям [NII] отличие еще больше.

Подробное сравнение данных РРЛ с оптическими данными проведено в статье Вильсон и др. (2015). Авторы считают, что до расстояний в 2' от центра $T_{\rm e}$ по РРЛ и оптике ведут себя сходно, падают. Затем (см. рис. 6 из работы Вильсон и др., 2015) $T_{\rm e}$ по РРЛ продолжает падать (по крайне мере до 4'), а по оптике идет рост. Наши данные говорят, спад по РРЛ идет дальше, до 5' от центра. Тем самым поддерживаются выводы работы Вильсон и др. (2015).

Турбулентные скорости ионизованного газа

Согласно теории РРЛ, на данных радиочастотах линии имеют гауссову форму с шириной, являющейся сверткой теплового и турбулентного уширения (Сороченко, Гордон, 2003). Поскольку мы измерили $T_{\rm e}$, то можем рассчитать тепловое уширение и затем выделить турбулентное из наблюдаемой ширины РРЛ. Так мы можем получить турбулентные скорости (V_t) ионизованного газа. Используя рабочую формулу для РРЛ водорода из книги Сороченко, Гордона (2003, с. 143), можно записать следующее выражение:

$$V_t = 0.6(\Delta V^2 - 4.55 \times 10^{-2} T_e \times (4)$$
$$\times M(H)/M_i)^{1/2},$$

где ΔV — ширина РРЛ по половинной интенсивности в км/с, $T_{\rm e}$ — электронная температура в кельвинах, $M({\rm H})/M_i$ — отношение массы атома водорода и исследуемого элемента.

На рис. 8 показано полученное распределение V_t как по водородным, так и по гелиевым РРЛ (табл. 2). Видно, что по РРЛ Н нет явной зависимости V_t от расстояния, хотя в направлении на восток видна тенденция слабого роста. По РРЛ Не намечается спад на расстояниях далее 100-150" от центра, что может означать, что зоны Н+ и Не+ занимают разные объемы в этих направлениях. Полученные величины V_t (по РРЛ Н) находятся в интервале 9-13 км/с и согласуются с прежними измерениями, например Сороченко и Берулис (1969). А вообще, измеренные значения V_t по HII областям лежат в интервале от 5 до 25 км/с (Сороченко, Гордон, 2003). Однако подавляющая часть измерений произведена на основе LTE температур, в то время как наши измерения — по реальным $T_{\rm e}$, т.е. очерчивают (по крайней мере, для Ориона А) более реальный интервал значений.

Известно, что ионизованный газ в Орионе А расширяется в сторону на наблюдателя. Об этом говорит разница лучевых скоростей РРЛ углерода

и водорода (табл. 1). Расширение может дополнительно уширять РРЛ. Действительно, ширины РРЛ H вне центра больше, чем в центральной позиции (табл. 1, см. также Поппи и др., 2007). Можно было ожидать и больших значений V_t вне центра. Такая тенденция намечается, но явной зависимости пока не видно.

ЗАКЛЮЧЕНИЕ

На радиотелескопе РТ22 (Пущино) на волне 8 и 13 мм были проведены наблюдения рекомбинационных радиолиний (РРЛ) водорода, гелия (Н, Не) и углерода (С), в нескольких позициях НІІ области Орион А, а именно: 9 позиций на 8 мм и 5 позиций на 13 мм.

- 1. Получены сведения об ионизационной структуре НІІ области. Получено распределение относительного содержания гелия, $y^+ = n(\mathrm{He}^+)/n(\mathrm{H}^+)$ по туманности. В направлениях на север и запад имеется увеличение измеренного содержания гелия с расстоянием от центра $y^+(r)$ с максимумом на угловых расстояниях 100-150'', а затем спад. В направлении на "восток" измеренное значение $y^+(r)$ всегда падает с удалением от звезды.
- 2. Поскольку на восток имеется постоянный спад величины y^+ , это означает, что в данном направлении зона HII строго ограничена по ионизации. Этот факт был использован для оценки эффективной температуры ($T_{\rm eff}$) звезды θ^1 С Огі как основного источника ионизации области HII. Модельные расчеты показали, что $T_{\rm eff}$ звезды θ^1 С Огі находится в интервале $35\,000-37\,500$ К. Поскольку эта звезда соответствует спектральному классу $\approx\!06.5$ V, то этот результат позволяет указать некоторые экспериментальные ограничения на выбор калибровки горячих О-B звезд, свидетельствуя в пользу калибровок звезд Потташа и др. (1979) и Массея и др. (2005).
- 3. По контрасту РРЛ водорода (линия/континуум) определены электронные температуры $(T_{\rm e})$ ионизованного газа как для случая LTE (локальное термодинамическое равновесие), так и с учетом отклонения от LTE. Полученные температуры находятся в интервале $6600-8400~{\rm K}$, строго уменьшаясь в направлении на восток с расстоянием от центра, имеют также тенденцию снижения к периферии в направлениях на юг и запад.
- 4. Получены данные о турбулентных скоростях (V_t) ионизованного газа и их распределении по туманности как по РРЛ H, так и по РРЛ Hе. Полученные по РРЛ H величины V_t находятся в интервале 9-13 км/с.

Авторы благодарны С.Ю. Парфенову за проведение модельных расчетов и полезные замечания.

Работа частично поддержана программой Президиума РАН "Космос: исследования фундаментальных процессов и их взаимосвязей".

СПИСОК ЛИТЕРАТУРЫ

- 1. Авер и др. (E. Aver, K.A. Olive, and E.D. Skillman), J. Cosmol. Astropart. Phys. 07, 011 (2015).
- 2. Бахрах Л.Д., Григорьева М.И., Сороченко Р.Л., Изв. вузов. Радиофизика **19**, 1614 (1976).
- 3. Вакка и др. (W.D. Vacca, C.D. Garmany, and J.M. Shull), Astrophys. J. **460**, 914 (1996).
- 4. Bappeн, Xeccep (W.H. Warren, jr. and J.E. Hesser), Astrophys. J. Suppl. Ser. **34**, 115 (1977).
- 5. Вильсон и др. (T.L. Wilson, T.M. Bania, and D.S. Balser), Astrophys. J. **812**, 45 (2015).
- 6. Вильсон, Джагер (T.L.Wilson and B. Jaeger), Astron. Astrophys. **184**, 291 (1987).
- 7. Вильсон и др. (T.L.Wilson, L. Filges, C. Codella, W. Reich, and P. Reich), Astron. Astrophys. **327**, 1177 (1997).
- 8. Вильсон, Паулс (T.L. Wilson and T. Pauls), Astron. Astrophys. **138**, 225 (1984).
- 9. Гопал-Кришна и др. (Gopal-Krishna, R. Subramanyan, G. Swarup, C.Thum, and H. Steppe), Vistas Astron. **31**, 207 (1988).
- 10. О'Делл и др. (C.R. O'Dell, W. Kollatschny, and G.J. Ferland), Astrophys. J. **837**, 151 (2017).
- 11. Ершов и др. (D. Ershov, S.A. Gulyaev, A. Ivanchik, D.A. Varshalovich, and A. Tsivilev), Astron. Astrophys. Trans. **15**, 281 (1998).
- 12. Изотов и др. (Y.I. Izotov, T.X. Thuan, and N.G. Guseva), MNRAS 445, 778 (2014).
- 13. Конти, Андерхил (P.S. Conti and A.B. Underhill), *CNRS* (NASA, Washington, 1988), SP-497.
- 14. Кок, Ваньони (A. Coc and E. Vangioni), Internat. J. Modern Phys. E, **26**, 08 (2017).
- 15. Копети, Бика (M.V.F. Copetti and E.I.D. Bica), Astrophys. Sp. Sci. **91**, 381 (1983).
- 16. Массей и др. (P. Massey, J. Puls, A.W.A. Pauldrach, F. Bresolin, R.P. Kudritzki, and T. Simon), Astrophys. J. **627**, 477 (2005).
- 17. Меза-Делгадо и др. (A. Mesa-Delgado, C. Esteban, and J. Garcia-Rojas), Astrophys. J. **675**, 389 (2008).
- 18. Пикельнер С.Б., *Физика космоса. Маленькая эн- циклопедия* (Советская энциклопедия, М., 1976), с. 356.
- 19. Поляков А.М., Цивилев А.П., Письма в Астрон. журн. **33**, 39 (2007) [А.М. Polyakov, A.P. Tsivilev, Astron. Lett. **33**, 34 (2007)].
- 20. Поппи и др. (S. Poppi, A.P. Tsivilev, S. Cortiglioni, G.G.C. Palumbo, and R.L. Sorochenko), Astron. Astrophys. **464**, 995 (2007).
- 21. Потташ и др. (S.R. Pottasch, P.R. Wesselius, and R.J. VanDuinen), Astron. Astrophys. 77, 189 (1979).
- 22. Рубин (R.H. Rubin), Astrophys. J. 287, 653 (1984).
- 23. Рубин и др. (R.H. Rubin, J.P. Simpson, C.R. O'Dell, I.A. McNabb, S.W.J. Colgan, S.Y. Zhuge, G.J. Ferland, and S.A. Hidalgo), MNRAS 410, 1320 (2011).

- 24. Салем, Броклехест (M. Salem and M. Brocklehurst), Astrophys. J. Suppl. Ser. **39**, 633 (1979).
- 25. Симон-Диаз, Стасинска (S. Simon-Diaz and G. Stasi'nska), MNRAS **389**, 1009 (2008).
- 26. Смирнов Г.Т., Цивилев А.П., Астрон. журн. **59**, 1020 (1982) [G.Т. Smirnov, A.P. Tsivilev, Sov. Astron. **26**, 616 (1982)].
- 27. Сороченко и Берулис (R.L. Sorochenko and I.I. Berulis), Astroph. Lett. 4, 173 (1969).
- 28. Сороченко Р.Л., Берулис И.И., Гусев А.В., Лехт Е.Е., Нагорных Л.М., Смирнов Г.Т., Тр. Физ. ин-та им. П.Н. Лебедева **159**, 53 (1985).
- 29. Сороченко Р.Л., Гордон М.А., Рекомбинационные радиолинии. Физика и астрономия (М.: Физматлит, 2003).
- 30. Сороченко и др. (R.L. Sorochenko, G.T. Smirnov, and G. Rydbeck), Astron. Astrophys. 198, 233 (1988).
- 31. Спитцер Л. мл., Физические процессы в меж-звездной среде (М.: Мир, 1981).
- 32. Стахл и др. (O. Stahl, G. Wade, V. Petit, B. Stober, and L. Schanne), Astron. Astrophys. **487**, 323 (2008).
- 33. Хуа, Луис (С.Т. Hua and R. Louise), Astron. Astrophys. Suppl. Ser. **88**, 477 (1982).
- 34. Цивилев А.П., *Диссерт. на соискание звания к.ф.-м.н.* (М.: ФИАН, 1998).

- 35. Цивилев А.П., Астрон. журн. **70**, 72 (1993) [A.P. Tsiviley, Astronomy Rep. **37**, 39 (1993)].
- 36. Цивилев А.П., Письма в Астрон. журн. **35**, 745 (2009) [A.P. Tsivilev, Astron. Lett. **35**, 670 (2009)].
- 37. Цивилев А.П., Письма в Астрон. журн. **40**, 681 (2014) [A.P. Tsivilev, Astron. Lett. **40**, 615 (2014)].
- 38. Цивилев А.П., Ершов А.А., Смирнов Г.Т., Сороченко Р.Л., Письма в Астрон. журн. **12**, 848 (1986) [A.P. Tsivilev, A.A. Etrshov, G.T. Smirnov, R.L. Sorochenko, Sov. Astron. Lett. **12**, 355 (1986)].
- 39. Цивилев А.П., Парфенов С.Ю., Соболев А.М., Краснов В.В., Письма в Астрон. журн. **39**, 912 (2013) [A.P. Tsivilev, S.Yu. Parfenov, A.M. Sobolev, V.V. Krasnov, Astron. Lett. **39**, 737 (2013)].
- 40. Цивилев др. (A.P. Tsivilev, S.Yu. Parfenov, and A.M. Sobolev), Odessa Astron. Publ. 27/2, 81 (2014).
- 41. Цивилев др. (A.P. Tsivilev, S.Yu. Parfenov, and V.V. Krasnov), Odessa Astron. Publ. **29**, 163 (2016).
- 42. Цивилев др. (A.P. Tsivilev, S. Poppi, S. Cortiglioni, G.G.C. Palumbo, M. Orsini, and G. Maccaferri), New Astron. 7, 499 (2002).